

大阪工業大学 正員 福田謙
 KK鴻池組 正員 ○中沢重一
 KKニッサンブリーズ 正員 今西筆

1.まえがき 土を締固めることによって、より強固な盛土の造成が可能ることは周知のとおりである。従来、盛土斜面の安定性の検討、とりわけマサ土のような風化砂質土の盛土斜面の安定解析については、経験的感にたよるが、あるいは $C=0$ 、中法で一般に考えられ、締固め効果を加味した論理的な設計法はまだないようである。そこで、本報告は、締固めによる強さ増加の概念を導入した安定解析法について述べることにする。

2.締固めによるせん断強さの増加 この種の土を締固めることによって、土の力学的性質が改良されうることは観察的に理解されているものの、現場においてどれほどの締固め度でどのような最大せん断抵抗力 S_f (強さ)をえられるか、という定量的な判定をすることは困難なことであった。著者らは、この S_f を握すべく種々な応力状態で室内試験(直接せん断試験)を行なった。その結果、この種の土の S_f は図-1に示すように応力履歴に大きく支配されることが判明した。 S_f と垂直応力 σ_0 ならびに先行垂直応力 σ_0' の関係を図-2に示す。図-1からやがるよう、正規圧密工の破壊包絡線(T_{cv} 線)は原点を通る直線となり、 S_f は従来通り $S_f = \sigma_0 \tan \phi_a$ として求められ、過圧密工では C 、 ϕ_a も定数として S_f を求められないが、 σ_0 と σ_0' の関係からそれを求めることができます。 W の一一定な盛土について、上述のこととを締固め時ならびに完成後の土中の応力状態に対応して考えてみると、水平面とθ度傾く面の S_f は図-3のように、またつぎのように表わされよう。 $S_f = f(\sigma_0, \sigma_0') - (1)$ $\sigma_0 = f(\sigma_{cv}) - (2)$ 正規圧密土は $\sigma_0 = \sigma_0'$ 、過圧密土では $\sigma_0 < \sigma_0'$ となり、 $\sigma_0 = \sigma_0' = f(\sigma_{cv})$ (1)(2)式中、 σ_0 、 σ_0' 、 σ_{cv} はそれぞれ水平面とθ度面の垂直応力、先行垂直応力および締固め時に作用した垂直応力、また σ_{cv} は締固め荷重 W による鉛直応力(締固め圧)である。

3.盛土の性状 盛土は一般に、高さ H と θ による σ_{cv} の大小関係から図4に示すような3種の性状に分けられる。図中、Aは、 σ_{cv} が小さく H がある程度大きな場合で、過圧密領域は表層部のみではなく全域にわたり正規圧密領域となる。Bは、 σ_{cv} が中位で H がある程度大きな場合で正規圧密領域と過圧密領域が存在する。Cは、 σ_{cv} が大きいあるいは H が非常に小さな場合で、盛土全域にわたり過圧密状態となる。

4.締固め時の土中応力 締固め時に生ずる応力は前述の通り、 S_f の値を左右することになる。この時の応力状態は実際において、きわめて複雑なものと考えられる。J.I.S. 1210の試験法では、一様に締め固められるものとしているので、このことを現場に対応してみると σ_0 は接地面の直下にすべて伝達され分散しないものと

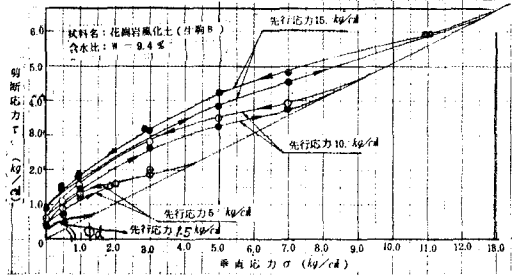
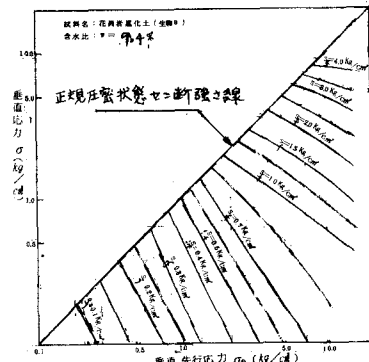
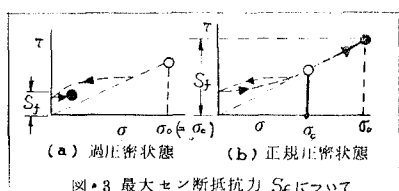


図-1 応力履歴と破壊せん断力

図-2 S_f と σ_0/σ_0' の関係図-3 最大せん断抵抗力 S_f について

した考え方といえよう。これは、薄層あるいはタニピングローラーによる締固めのような場合に近似するものと考えられる。一方、締固め厚さ d がある程度以上になると必ずしも一様に締固められるとはいえない。というのは、機械の接地面から深くなるほど σ による σ_{ho} は分散するからである。図-5 は土中応力の一例として、 $f = 10 \text{ t/m}^2$, $d = 30 \text{ cm}$, 接地中 $a = 50 \text{ cm}$ 接地中 $b = 250 \text{ cm}$ (ブルドーザー類を想定) の中心点 O におけるブシネスクの式から得られた結果を示したものである。地表面から深くなるほど鉛直応力 σ_{ho} および水平応力 σ_{ho} は小さくなる。解析上必要な d に対する平均値的な締固め圧 $\bar{\sigma}_{\text{ho}}$ は、図-5(a)に示すような係数 α をもって、 $\bar{\sigma}_{\text{ho}} = f \cdot \alpha$ として求めることにする。図中、横線ハッチは $\bar{\sigma}_{\text{ho}}$ より大、斜線ハッチは $\bar{\sigma}_{\text{ho}}$ より小な部分を示す。上述の如きは、機械の接地面形状と締固め厚さに關係する係数 α 、示準的 α 値を図-6 に示す。また、 $\bar{\sigma}_{\text{ho}}$ が σ_{ho} より大きめの時、 $\bar{\sigma}_{\text{ho}}$ が σ_{ho} より小さめの時、 $\bar{\sigma}_{\text{ho}}$ が σ_{ho} と等しい時は、 $\bar{\sigma}_{\text{ho}} = \sigma_{\text{ho}}$ である。

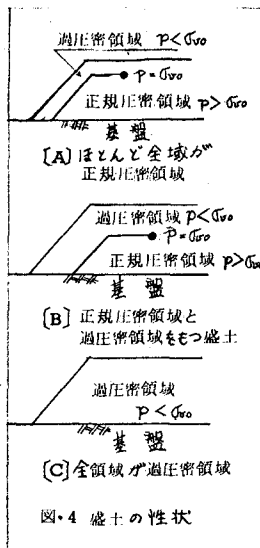


図-4 盛土の性状

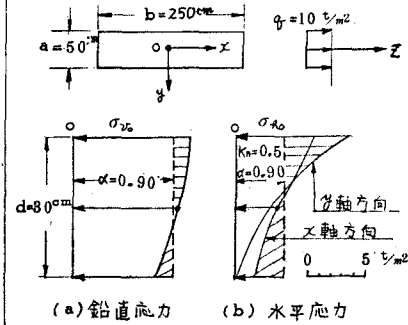


図-5 ブシネスクの式より求めたO点における土中応力

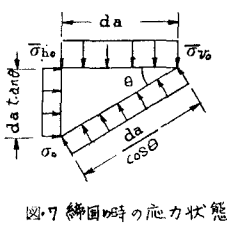


図-7 締固め時の応力状態

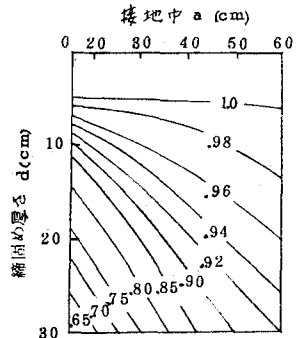


図-6 接地中および深さ a の関係

5. 安定解析 豊圓な水平地盤上に造成される盛土を対象とし、破壊型は斜面先破壊、すべり面は単純円弧とする。解析の手順は従来の分割法通り行なえばよいが、各分割片のすべり面の S_i は(4)式よりえられる締固め時の σ_{ho} と盛土完成後の σ_{ho} から図-6 に示す図表より求める。なお、解析手順の詳細については別報告で述べることにする。

6. あとがき 以上、締固め効果を導入した解析法について述べたが、ここでもっとも重要な事項は α (あるいは $\bar{\sigma}_{\text{ho}}$) の確認である。これは現場における α と室内試験の α ～ $\log P$ 線を対応させるが、あるいはブルーフローリング試験を活用し、タイヤの空気圧を調節し接地面積をえた、そのタワミ程度から推定できよう。他方、各種軟土機の締固め圧に関する研究がより一層望まれるとこである。なお、浸水が予想される場合は別途の考慮を必要とすることを付記する。

参考文献: 1) 福田謙, 砂質工の応力履歴とせん断強さについて. 第30回年次学術講演会(土木), 第3部, S.50.10

2) 福田, 今西, 藤原, 締固め効果を考慮した盛土斜面の安定解析例, 本年次講演会概要集, 第3部, S.51.10